

互耦效应下一种基于实值稀疏表示的波达方向估计算法

吴振¹, 戴继生^{1,2}, 朱湘临¹, 赵德安¹

(1. 江苏大学 电气信息工程学院, 江苏 镇江 212013; 2. 东南大学 移动通信国家重点实验室, 江苏 南京 210096)

摘要: 针对未知互耦条件下的波达方向(DOA)估计问题,提出了一种未知互耦条件下基于实值稀疏表示的加权子空间 DOA 估计算法。新算法利用一个特定的酉变换矩阵,将一个复杂的复值优化问题转化为一个实值优化问题,从而有效地将原问题的计算复杂度减少 4 倍以上。此外,为了提高稀疏表示的估计算法估计精度,在原有 l_1 范数优化模型基础上引入一个能使得 DOA 估计方差取得最小值的最优子空间加权矩阵。仿真实验表明,在低信噪比情况下,新算法能进一步提高稀疏表示的估计算法抗噪能力,获得更好的估计精度。

关键词: 信息处理技术; 波达方向估计; 稀疏表示; 互耦; 均匀线阵

中图分类号: TN911.7 **文献标志码:** A **文章编号:** 1000-1093(2015)02-0294-05

DOI: 10.3969/j.issn.1000-1093.2015.02.015

A Real-valued Sparse Representation Method for DOA Estimation with Unknown Mutual Coupling

WU Zhen¹, DAI Ji-sheng^{1,2}, ZHU Xiang-lin¹, ZHAO De-an¹

(1. School of Electrical and Information Engineering, Jiangsu University, Zhenjiang 212013, Jiangsu, China;

2. National Mobile Communications Research Laboratory, Southeast University, Nanjing 210096, Jiangsu, China)

Abstract: The paper presents a real-valued sparse representation method for DOA estimation in the presence of unknown mutual coupling. Utilizing a certain unitary transformation and taking advantage of the special structure of mutual coupling matrix (MCM) for uniform linear arrays (ULAs), we are able to convert complex-valued manifold matrices of ULAs with unknown mutual coupling into real ones. Due to this transformation, the computational complexity can be decreased by a factor of at least four. Moreover, the proposed method is expected to have a better noise suppression, as it exploits an additional optimal weighting matrix. Thus, the proposed method outperforms the original one, especially when signal-to-noise ratio (SNR) is low. Simulation results verify the efficiency of the proposed method.

Key words: information processing technology; direction of arrival estimation; sparse representation; mutual coupling; uniform linear array

0 引言

波达方向(DOA)估计作为阵列信号处理的一个重要分支,已广泛应用于雷达、声纳、通信、地震勘

探、射电天文以及生物医学工程等多个领域^[1-3]。基于子空间的 DOA 估计算法(MUSIC, ESPRIT、root-MUSIC, WSF 等)在较高信噪比、较多快拍数的条件下具有较好的估计性能,但在非理想(比如低信噪

收稿日期: 2013-09-27

基金项目: 国家自然科学基金项目(61102054); 东南大学移动通信国家重点实验室开放研究基金项目(2013D08)

作者简介: 吴振(1990—), 男, 硕士研究生。E-mail: zhenwu.uj@sina.com;

戴继生(1982—), 男, 副教授, 硕士生导师。E-mail: jsdai@uj.su.edu.cn

比、少量快拍数)情况下,此类算法性能将损失严重。稀疏表示作为一种新颖的数据处理方法,近年来得到了国内外学者的极大关注。基于稀疏表示的DOA估计算法与其他估计算法相比,具有所需快拍数小、在低信噪比下具有良好的抗噪性、适用相干信号等优点^[4-5]。

稀疏表示估计算法也存在一些不足:与大多数子空间估计算法一样,其估计性能很大程度上取决于阵列流型是否精确已知。在实际的工程应用中,不可避免地要面临多种流型误差的影响(如阵元幅相误差、阵元位置误差、阵元间互耦效应等),这些误差将使得未经校准处理的DOA估计算法的性能严重恶化,甚至失效^[6-10]。为对抗阵元间的互耦效应,Dai等提出了一种未知互耦条件下的稀疏表示的DOA估计算法^[6]。该算法能够消除未知互耦因素带来的不利影响,提高DOA估计的性能。然而该算法需要求解一个复数域上的关于 l_1 范数的优化问题,其计算复杂度较高。

注意到一次复数乘法运算需要4次实数乘法运算和两次实数加法运算,因此,复数实值化将带来计算复杂度上的巨大优势。受此启发,本文拟提出一种未知互耦条件下基于实值稀疏表示的加权子空间(WSF)DOA估计算法。与文献[6]所提算法相对比,新算法的创新之处在于:1)采用了实值变换矩阵,有效地将计算复杂度减少4倍以上;2)在目标函数中引入了一个最优子空间加权矩阵,有助于进一步减小DOA估计的方差。因此,新算法是文献[6]所提算法的一个重要推广,其既有助于提高DOA估计性能,又能有效地降低算法计算复杂度。

1 信号模型

考虑 K 个波达方向为 $\theta_1, \theta_2, \dots, \theta_K$ 的窄带互不相关信号 $s_k(t)$ ($k=1, 2, \dots, K$)从远场入射到由 M 个阵元组成的均匀线阵(ULA)上,其中信号波长为 λ 。若假设相邻阵元间距为 d ,则未知互耦条件下阵列的输出信号 $\mathbf{r}(t)$ 为

$$\mathbf{r}(t) = \mathbf{C}\mathbf{A}\mathbf{s}(t) + \mathbf{n}(t), t \in \{t_1, t_2, \dots, t_T\}, \quad (1)$$

式中: $\mathbf{r}(t) = [r_1(t), r_2(t), \dots, r_M(t)]^T$; $\mathbf{s}(t) = [s_1(t), s_2(t), \dots, s_K(t)]^T$; $\mathbf{n}(t) = [n_1(t), n_2(t), \dots, n_M(t)]^T$; $\mathbf{A} = [\boldsymbol{\alpha}(\theta_1), \boldsymbol{\alpha}(\theta_2), \dots, \boldsymbol{\alpha}(\theta_K)]$; $\boldsymbol{\alpha}(\theta_k) = [1, e^{j\phi(\theta_k)}, \dots, e^{j(M-1)\phi(\theta_k)}]^T$, $\phi(\theta_k) = (-2\pi d/\lambda) \cdot \sin(\theta_k)$ 。 $\mathbf{n}(t)$ 是一个零均值方差为 $\sigma_n^2 \mathbf{I}$ 的广义高斯随机过程。矩阵 \mathbf{C} 为ULA所对应的互耦矩阵,其

互耦系数与阵元间距呈反比:足够远的两阵元间互耦系数近似为0,且间距相同的两阵元间互耦系数相同。因此,ULA的互耦矩阵可以用一个带状的对称Toeplitz矩阵来描述。若模型只考虑 m 个阵元之间的相互作用,则互耦矩阵 $\mathbf{C}^{[7-12]}$ 可表示为

$$\mathbf{C} = \text{Toeplitz}(\mathbf{c}) = \begin{bmatrix} 1 & c_1 & \cdots & c_m & \cdots & 0 \\ c_1 & 1 & c_1 & \cdots & \ddots & 0 \\ \vdots & c_1 & 1 & \ddots & \cdots & c_m \\ c_m & \cdots & \ddots & \ddots & c_1 & \vdots \\ 0 & \ddots & \cdots & c_1 & 1 & c_1 \\ 0 & \cdots & c_m & \cdots & c_1 & \ddots \end{bmatrix}_{M \times M}, \quad (2)$$

式中:Toeplitz(\mathbf{c})表示由矢量 \mathbf{c} 构成的对称Toeplitz矩阵, \mathbf{c} 为 $2M-1$ 维矢量,且有

$$\mathbf{c} = [c_0, c_1, c_2, \dots, c_m, 0, \dots, 0], \\ 0 < |c_1|, |c_2|, \dots, |c_m| < c_0, c_0 = 1. \quad (3)$$

2 稀疏表示的DOA估计算法简介

为了便于分析,简要介绍一下无互耦效应下的稀疏表示的DOA估计算法(详见文献[4])。此时,(1)式为

$$\hat{\mathbf{r}}(t) = \mathbf{A}\mathbf{s}(t) + \mathbf{n}(t), t \in \{t_1, t_2, \dots, t_T\}. \quad (4)$$

若 $\tilde{\mathbf{R}} \triangleq [\hat{\mathbf{r}}(t_1), \dots, \hat{\mathbf{r}}(t_T)]$, $\mathbf{N} \triangleq [\mathbf{n}(t_1), \dots, \mathbf{n}(t_T)]$ 和 $\mathbf{S} \triangleq [\mathbf{s}(t_1), \dots, \mathbf{s}(t_T)]$,则(4)式可写成矩阵形式,即

$$\tilde{\mathbf{R}} = \mathbf{A}\mathbf{S} + \mathbf{N}, \quad (5)$$

对 $\tilde{\mathbf{R}}$ 进行奇异值分解,有

$$\tilde{\mathbf{R}} = \tilde{\mathbf{U}}_s \tilde{\boldsymbol{\Sigma}}_s \tilde{\mathbf{V}}_s^H + \tilde{\mathbf{U}}_c \tilde{\boldsymbol{\Sigma}}_c \tilde{\mathbf{V}}_c^H, \quad (6)$$

式中: $\tilde{\mathbf{U}}_s \in \mathbb{C}^{M \times K}$ 和 $\tilde{\mathbf{V}}_s \in \mathbb{C}^{M \times K}$ 为由 K 个较大奇异值对应的奇异向量组成的信号子空间矩阵,而 $\tilde{\mathbf{U}}_c \in \mathbb{C}^{T \times (M-K)}$ 和 $\tilde{\mathbf{V}}_c \in \mathbb{C}^{T \times (M-K)}$ 为其余 $M-K$ 个较小奇异值对应的奇异向量组成的噪声子空间矩阵。利用(5)式和(6)式,(4)式可表示为

$$\tilde{\mathbf{R}}_{\text{EV}} = \mathbf{A} \tilde{\mathbf{S}}_{\text{EV}} + \tilde{\mathbf{N}}_{\text{EV}}, \quad (7)$$

式中: $\tilde{\mathbf{R}}_{\text{EV}} = \tilde{\mathbf{R}} \tilde{\mathbf{V}}_s$; $\tilde{\mathbf{S}}_{\text{EV}} = \mathbf{S} \tilde{\mathbf{V}}_s$; $\tilde{\mathbf{N}}_{\text{EV}} = \mathbf{N} \tilde{\mathbf{V}}_s$ 。为了将DOA估计问题建模成一个稀疏表示问题,需建立一个DOA的过完备基。首先,将整个角度空间进行抽样(即离散化),分成均匀间隔的网格。设抽样网格数量为 K_θ ,抽样角度分别为 $\{\hat{\theta}_1, \hat{\theta}_2, \dots, \hat{\theta}_{K_\theta}\}$,其中 $K_\theta \gg M$ 。只要 K_θ 足够大,就可得到一个 $M \times K_\theta$ 维的过完备导向矩阵 $\mathbf{A}_\theta = [\boldsymbol{\alpha}(\hat{\theta}_1), \boldsymbol{\alpha}(\hat{\theta}_2), \dots, \boldsymbol{\alpha}(\hat{\theta}_{K_\theta})]$ 。于

是, (7) 式可表示为

$$\tilde{\mathbf{R}}_{\text{EV}} = \mathbf{A}_{\hat{\theta}} \tilde{\mathbf{S}}_{\hat{\theta}} + \tilde{\mathbf{N}}_{\text{EV}}, \quad (8)$$

式中: $\tilde{\mathbf{S}}_{\hat{\theta}}$ 是一个 $K_{\hat{\theta}} \times K$ 维的矩阵, 其第 i 行向量对应于波达方向为 $\hat{\theta}_i$ 的信号。易见, $\tilde{\mathbf{S}}_{\hat{\theta}}$ 是一个行稀疏矩阵, 只有当信号从 $\hat{\theta}_i$ 入射到 ULA 时, $\tilde{\mathbf{S}}_{\hat{\theta}}$ 的第 i 行向量才为非零值。为了重构稀疏矩阵 $\tilde{\mathbf{S}}_{\hat{\theta}}$, 可以求解一个 l_1 范数优化问题:

$$\min_{\tilde{\mathbf{S}}_{\hat{\theta}}} \|\tilde{\mathbf{S}}_{\hat{\theta}}^{(l_2)}\|_1, \text{ s. t. : } \|\tilde{\mathbf{R}}_{\text{EV}} - \mathbf{A}_{\hat{\theta}} \tilde{\mathbf{S}}_{\hat{\theta}}\|_2 \leq \tilde{\varepsilon}, \quad (9)$$

式中: $[\tilde{\mathbf{S}}_{\hat{\theta}}^{(l_2)}]_i \triangleq \|\tilde{\mathbf{S}}_{\hat{\theta}}(i, :)\|_2$; $\tilde{\varepsilon}$ 是一个常数, 其取决于 $\|\tilde{\mathbf{N}}_{\text{EV}}\|_2$ 置信区间 99% 的上限值。

3 未知互耦条件下实值稀疏表示的 DOA 估计算法

由第 2 节叙述可知, 文献[4]所提算法没有考虑互耦效应带来的不利影响。本节将提出一种未知互耦条件下基于实值稀疏表示的加权子空间 DOA 估计算法。与(5)式类似, 未知互耦条件下, (1) 式可表示为

$$\mathbf{R} = \mathbf{C}\mathbf{A}\mathbf{S} + \mathbf{N}, \quad (10)$$

由于 \mathbf{C} 为未知矩阵, 所以(10)式不能直接转换成稀疏表示的形式。为了去除互耦对阵列输出信号带来的不利影响, 并将(10)式实值化, 引入一个常数矩阵 $\mathbf{F} \triangleq [\mathbf{0}_{(M-2m) \times m} \mathbf{I}_{M-2m} \mathbf{0}_{(M-2m) \times m}]$ 和一个酉变换矩阵 \mathbf{Q}_M : 当 M 为偶数时,

$$\mathbf{Q}_M = \frac{1}{\sqrt{2}} \begin{bmatrix} \mathbf{I}_{M/2} & \mathbf{J}_{M/2} \\ \mathbf{j}\mathbf{J}_{M/2} & -\mathbf{j}\mathbf{I}_{M/2} \end{bmatrix}; \quad (11)$$

当 M 为奇数时,

$$\mathbf{Q}_M = \frac{1}{\sqrt{2}} \begin{bmatrix} \mathbf{I}_{(M-1)/2} & \mathbf{0}_{((M-1)/2) \times 1} & \mathbf{J}_{(M-1)/2} \\ \mathbf{0}_{1 \times (M-1)/2} & \sqrt{2} & \mathbf{0}_{1 \times (M-1)/2} \\ \mathbf{j}\mathbf{J}_{(M-1)/2} & \mathbf{0}_{((M-1)/2) \times 1} & -\mathbf{j}\mathbf{I}_{(M-1)/2} \end{bmatrix}. \quad (12)$$

式中: \mathbf{I} 为单位矩阵; \mathbf{J} 为交换矩阵(反对角线元素全为 1, 其他元素为 0 的矩阵), 下标表示矩阵维数。

(10) 式两边同时左乘 \mathbf{F} 和 \mathbf{Q}_{M-2m} , 得^[12]

$$\begin{aligned} \mathbf{R}' &\triangleq \mathbf{Q}_{M-2m} \mathbf{F} \mathbf{R} = \\ &\mathbf{Q}_{M-2m} \mathbf{F} \mathbf{C} \mathbf{A} \mathbf{S} + \mathbf{Q}_{M-2m} \mathbf{F} \mathbf{N} = \\ &\mathbf{Q}_{M-2m} \mathbf{F} \mathbf{A} \mathbf{G} \mathbf{S} + \mathbf{Q}_{M-2m} \mathbf{F} \mathbf{N} = \\ &\mathbf{F} \mathbf{A} \bar{\mathbf{S}} + \mathbf{Q}_{M-2m} \mathbf{F} \mathbf{N}, \end{aligned} \quad (13)$$

式中: $\bar{\mathbf{S}} \triangleq \mathbf{G} \mathbf{S}$, $\mathbf{G} \triangleq \text{diag}\{g_1, g_2, \dots, g_K\}$, $g_k =$

$$\sum_{m'=-m}^m c_{|m'|} e^{jm'\phi(\theta_k)}, k=1, 2, \dots, K; \mathbf{A} = [\underline{\alpha}(\theta_1), \underline{\alpha}(\theta_2), \dots, \underline{\alpha}(\theta_K)],$$

$$\underline{\alpha}(\theta_k) = \begin{cases} \sqrt{2} \begin{bmatrix} \cos\left(\frac{M-1}{2}\phi(\theta_k)\right), \dots, \cos\left(\frac{1}{2}\phi(\theta_k)\right), \\ \sin\left(\frac{1}{2}\phi(\theta_k)\right), \dots, \sin\left(\frac{M-1}{2}\phi(\theta_k)\right) \end{bmatrix}^T, & M \text{ 偶数;} \\ \sqrt{2} \begin{bmatrix} \cos\left(\frac{M-1}{2}\phi(\theta_k)\right), \dots, \cos(\phi(\theta_k)), \\ 1, \sin(\phi(\theta_k)), \dots, \sin\left(\frac{M-1}{2}\phi(\theta_k)\right) \end{bmatrix}^T, & M \text{ 为奇数。} \end{cases}$$

(13) 式中 $\mathbf{Q}_{M-2m} \mathbf{F} \mathbf{R}$, $\bar{\mathbf{S}}$ 和 $\mathbf{Q}_{M-2m} \mathbf{F} \mathbf{N}$ 同为复矩阵。为了进一步对其实值化, 将(13)式改写成实部和虚部之和的形式, 即

$$\begin{aligned} \text{Re}(\mathbf{Q}_{M-2m} \mathbf{F} \mathbf{R}) + \text{jIm}(\mathbf{Q}_{M-2m} \mathbf{F} \mathbf{R}) = \\ \mathbf{F} \mathbf{A} (\text{Re}(\bar{\mathbf{S}}) + \text{jIm}(\bar{\mathbf{S}})) + \\ \text{Re}(\mathbf{Q}_{M-2m} \mathbf{F} \mathbf{N}) + \text{jIm}(\mathbf{Q}_{M-2m} \mathbf{F} \mathbf{N}). \end{aligned} \quad (14)$$

根据实部和虚部分别相等的必要条件, 有

$$\begin{cases} \text{Re}(\mathbf{Q}_{M-2m} \mathbf{F} \mathbf{R}) = \mathbf{F} \mathbf{A} \text{Re}(\bar{\mathbf{S}}) + \text{Re}(\mathbf{Q}_{M-2m} \mathbf{F} \mathbf{N}); \\ \text{Im}(\mathbf{Q}_{M-2m} \mathbf{F} \mathbf{R}) = \mathbf{F} \mathbf{A} \text{Im}(\bar{\mathbf{S}}) + \text{Im}(\mathbf{Q}_{M-2m} \mathbf{F} \mathbf{N}). \end{cases} \quad (15)$$

若将(15)式写成矩阵形式, 得

$$\underline{\mathbf{R}} = \mathbf{F} \mathbf{A} \underline{\mathbf{S}} + \underline{\mathbf{N}}, \quad (16)$$

式中: $\underline{\mathbf{R}} = [\text{Re}(\mathbf{Q}_{M-2m} \mathbf{F} \mathbf{R}) \text{Im}(\mathbf{Q}_{M-2m} \mathbf{F} \mathbf{R})]$; $\underline{\mathbf{S}} = [\text{Re}(\bar{\mathbf{S}}) \text{Im}(\bar{\mathbf{S}})]$, $\underline{\mathbf{N}} = [\text{Re}(\mathbf{Q}_{M-2m} \mathbf{F} \mathbf{N}) \text{Im}(\mathbf{Q}_{M-2m} \mathbf{F} \mathbf{N})]$ 。易见, 通过上述处理, (16) 式中所有矩阵均为实值矩阵。设 $\underline{\mathbf{R}}$ 的奇异值分解为

$$\underline{\mathbf{R}} = \mathbf{U}_s \underline{\Sigma}_s \mathbf{V}_s^H + \mathbf{U}_c \underline{\Sigma}_c \mathbf{V}_c^H. \quad (17)$$

根据(7)式, 可类似地处理(16)式, 但为了在低信噪比情况下, 进一步提高稀疏表示的估计算法抗噪能力, 获得更好的估计精度, 不再简单地用 \mathbf{V}_s 同时右乘(16)式的两边, 而是根据加权子空间理论, 采用一个子空间实值加权矩阵 \mathbf{W} :

$$\mathbf{W} = \mathbf{V}_s \underline{\Sigma}_s^{-1} (\underline{\Sigma}_s - \sigma_n^2 \mathbf{1}^{-1}), \quad (18)$$

由文献[13]的定理 3 可知: 对于任意的加权矩阵 \mathbf{W} , 有

$$\min_{\underline{\mathbf{S}}} \|\underline{\mathbf{R}} \mathbf{W} - \mathbf{F} \mathbf{A} \underline{\mathbf{S}}\|_2 \leq \min_{\underline{\mathbf{S}}} \|\underline{\mathbf{R}} \mathbf{W} - \mathbf{F} \mathbf{A} \underline{\mathbf{S}}\|_2, \quad (19)$$

即, (18) 式中所定义的 \mathbf{W} 能使得最优估计的方差取得最小值。由(16)式和(18)式, 得

$$\underline{\mathbf{R}}_{\text{EV}} = \mathbf{F} \mathbf{A} \underline{\mathbf{S}}_{\text{EV}} + \underline{\mathbf{N}}_{\text{EV}}, \quad (20)$$

式中: $\underline{\mathbf{R}}_{\text{EV}} = \underline{\mathbf{R}} \mathbf{W}$; $\underline{\mathbf{S}}_{\text{EV}} = \underline{\mathbf{S}} \mathbf{W}$; $\underline{\mathbf{N}}_{\text{EV}} = \underline{\mathbf{N}} \mathbf{W}$ 。相应地, 可

构造出一个 $M \times K_{\bar{\theta}}$ 维的过完备实值导向矩阵:

$$\underline{\mathbf{A}}_{\bar{\theta}} = [\underline{\boldsymbol{\alpha}}(\hat{\theta}_1), \underline{\boldsymbol{\alpha}}(\hat{\theta}_2), \dots, \underline{\boldsymbol{\alpha}}(\hat{\theta}_{K_{\bar{\theta}}})], \quad (21)$$

式中: $\underline{\boldsymbol{\alpha}}(\hat{\theta}_i)$ 已由 (13) 式所定义。最终 (20) 式可表示为

$$\underline{\mathbf{R}}_{\text{EV}} = \underline{\mathbf{F}} \underline{\mathbf{A}}_{\bar{\theta}} \underline{\mathbf{S}}_{\bar{\theta}} + \underline{\mathbf{N}}_{\text{EV}}, \quad (22)$$

式中: $\underline{\mathbf{S}}_{\bar{\theta}}$ 是一个 $K_{\bar{\theta}} \times K$ 维实值矩阵。当且仅当 $\underline{\mathbf{S}}_{\text{EV}}$ 的第 i 行为非零时, $\underline{\mathbf{S}}_{\bar{\theta}}$ 的第 i 行为非零向量。因此, 该矩阵仅有 K 行非零值, 所以 $\underline{\mathbf{S}}_{\bar{\theta}}$ 为稀疏矩阵。为了重构稀疏矩阵 $\underline{\mathbf{S}}_{\bar{\theta}}$, 通过以下实值优化问题找到其稀疏的最优解:

$$\min_{\underline{\mathbf{S}}_{\bar{\theta}}} \|\underline{\mathbf{S}}_{\bar{\theta}}^{(l_2)}\|_1, \text{ s. t. } \|\underline{\mathbf{R}}_{\text{EV}} - \underline{\mathbf{F}} \underline{\mathbf{A}}_{\bar{\theta}} \underline{\mathbf{S}}_{\bar{\theta}}\|_2 \leq \varepsilon, \quad (23)$$

式中: $[\underline{\mathbf{S}}_{\bar{\theta}}^{(l_2)}]_i \triangleq \|\underline{\mathbf{S}}_{\bar{\theta}}(i, :)\|_2$, 获得 ε 值的 Matlab 的代码为 $\sigma_n \sqrt{\text{chi2inv}(0.99, (M-2m)T)}$, 噪声方差 σ_n^2 可由 $\underline{\boldsymbol{\Sigma}}_c$ 对角元素的均值所确定。由此, 可推导出一种实值稀疏表示的 DOA 估计算法。

本文所提算法所涉及的 l_1 范数优化问题 (23) 式与文献 [6] 的优化问题具有相同的结构, 主要区别在于: 1) 优化问题 (23) 式中所有已知变量和需优化的变量均为实值; 2) 引入了一个子空间实值加权矩阵, 使得 DOA 估计的方差能取得最小值。由于一次复数乘法运算需要 4 次实数乘法运算和两次实数加法运算, 因此, 复变量实值化将带来计算复杂度上的巨大优势: 直接求解优化问题 (23) 式所需的计算复杂度仅为求解文献 [6] 优化问题计算复杂度的 1/4。详细的讨论可参见文献 [12, 14-15], 这里不在赘述。

4 仿真结果及实验分析

本节中将新算法与文献 [6, 8] 所提的算法进行比较, 从而验证新算法的有效性。在第 1 个仿真实验中, 假设 $K=2$ 个不相关信号 ($\theta_1 = -19.7^\circ, \theta_2 = 10.1^\circ$) 入射到阵元数为 $M=10$ 的 ULA 上, 阵元间距为半波长, 仅考虑相邻阵元间存在互耦效应, 且互耦系数为 $0.3844 - 0.3476i$, 噪声为零均值的高斯白噪声。每次实验均进行 200 次蒙特卡罗实验, 采用均方根误差 (RMSE) 作为 DOA 估计算法性能的衡量指标, 其定义为

$$\text{RMSE} = \sqrt{\frac{1}{200K} \sum_{k=1}^K \sum_{j=1}^{200} (\hat{\theta}_{kj} - \theta_k)^2}, \quad (24)$$

式中: K 为信号源数; $\hat{\theta}_{kj}$ 为第 j 次蒙特卡罗实验对第 k 个信号的角度估计值; θ_k 为第 k 个信号的真实角度。图 1 描述了不同 DOA 估计算法的 RMSE 随

着信噪比 (SNR) 变化的性能曲线, 其中快拍数为 100。从图 1 可以看出, 本文所提出的算法具有较好的估计性能。在 SNR 较高时, 本文算法与文献 [6] 算法的性能基本趋于一致, 但当 SNR 较低时 (< -8 dB), 所提算法与其他算法相比, RMSE 降低明显。

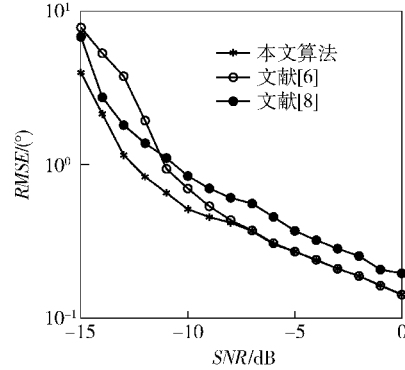


图 1 不同 DOA 估计算法的 RMSE 随着 SNR 变化的性能曲线

Fig. 1 RMSE of DOA estimate against SNR among different strategies

为了验证快拍数对算法性能产生的影响, 在第 2 个仿真实验中, 在低信噪比情况下进行了 RMSE 随快拍数变化的仿真实验。除了将 SNR 设置为一个固定值 (-10 dB), 其他实验条件与仿真实验 1 相同。图 2 描述了不同 DOA 估计算法的 RMSE 随着快拍数变化的性能曲线。从图 2 可以看出, 本文算法性能明显优于其他算法, 而且随着快拍数的增加, 所提算法的 DOA 估计 RMSE 逐渐减小, 即估计精度逐渐增高。

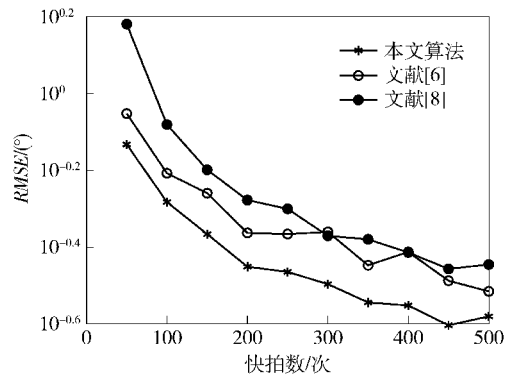


图 2 不同 DOA 估计算法的 RMSE 随着快拍数变化的性能曲线

Fig. 2 RMSE of DOA estimate against snapshots among different strategies

在第 3 个仿真实验中, 将验证较少快拍数情况下算法的角度辨别性能。设 $\hat{\theta}_k$ 为第 k 个信号的角

度估计值,若 $\max_{k=1,2} \{ |\hat{\theta}_k - \theta_k| \} \leq \frac{|\theta_1 - \theta_2|}{2}$, 则称算法

能分辨出相邻的 DOA. 该仿真实验假设有两个相邻的不相关信号 ($\theta_1 = -2.5^\circ, \theta_2 = 3.5^\circ$) 入射到阵元数为 $M = 12$ 的均匀线阵上, 阵元间距为半波长, 快拍数为 50, 阵元间互耦系数设为 $c = [1, 0.4 + 0.3i, 0.1 - 0.2i]$. 图 3 描述了不同 DOA 估计算法的分辨率随着 SNR 变化的性能曲线. 由图 3 可以看出, 本文所提算法具有较高的角度分辨率.

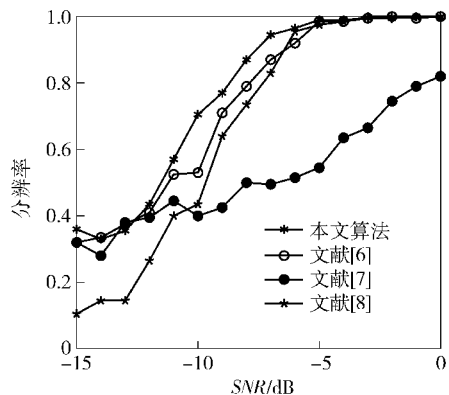


图 3 不同 DOA 估计算法的分辨率随着 SNR 变化的性能曲线

Fig. 3 Resolution probability of DOA estimate against SNR among different strategies

5 结论

针对未知互耦条件下 DOA 估计算法运算复杂度较高的问题, 本文提出一种未知互耦条件下基于实值稀疏表示的加权子空间 DOA 估计算法, 该算法利用特定的酉变换矩阵, 将一个复杂的复值优化问题转化成实值优化问题, 从而有效地降低了计算复杂度. 此外, 根据加权子空间理论, 引入了一个子空间实值加权矩阵, 进一步提高了稀疏表示的估计算法估计精度. 本文算法是文献[6]所提算法的一个重要推广. 理论分析和仿真实验都验证了本文所提算法的有效性.

参考文献 (References)

[1] Kim H, Viberg M. Two decades of array signal processing research[J]. IEEE Signal Magazine, 1996, 13(4): 67-94.

[2] 叶中付, 李春辉, 贾红江, 等. 空间非平稳噪声下的信源数估计算法[J]. 兵工学报, 2009, 30(7): 873-878.
YE Zhong-fu, LI Chun-hui, JIA Hong-jiang, et al. Estimation of the number of signal source in spatially nonstationary noise[J]. Acta Armamentarii, 2009, 30(7): 873-878. (in Chinese)

[3] 邹吉武, 孙大军. 线阵双基地声纳波束零点形成 MUSIC 算法[J]. 兵工学报, 2010, 31(3): 364-368.
ZOU Ji-wu, SUN Da-jun. MUSIC algorithm of beam null forming on linear array of bi-static sonar[J]. Acta Armamentarii, 2010, 31(3): 364-368. (in Chinese)

[4] Malioutov D, Çetin M, Willsky A S. A sparse signal reconstruction perspective for source localization with sensor arrays[J]. IEEE Transactions on Signal Processing, 2005, 53(8): 3010-3022.

[5] Stoica P, Babu P, Li J. SPICE: a sparse covariance-based estimation method for array processing[J]. IEEE Transactions on Signal Processing, 2011, 59(2): 629-638.

[6] Dai J, Zhao D, Ji X. A sparse representation method for DOA estimation with unknown mutual coupling[J]. IEEE Antennas and Wireless Propagation Letters, 2012, 11: 1210-1213.

[7] Sellone F, Serra A. A novel online mutual coupling compensation algorithm for uniform and linear arrays[J]. IEEE Transactions on Signal Processing, 2007, 55(2): 560-573.

[8] Ye Z, Dai J, Xu X, et al. DOA estimation for uniform linear array with mutual coupling[J]. IEEE Transactions on Aerospace and Electronic Systems, 2009, 45(1): 280-288.

[9] Friedlander B, Weiss A J. Direction finding in the presence of mutual coupling[J]. IEEE Transactions on Antennas and Propagation, 1991, 39(3): 273-284.

[10] Dai J, Bao X, Hu N, et al. A recursive RARE algorithm for DOA estimation with unknown mutual coupling[J]. IEEE Antennas and Wireless Propagation Letters, 2014, 13: 1593-1596.

[11] Dai J, Ye Z. Spatial smoothing for direction of arrival estimation of coherent signals in the presence of unknown mutual coupling[J]. IET Signal Processing, 2011, 5(4): 418-425.

[12] Dai J, Xu W, Zhao D. Real-valued DOA estimation for uniform linear array with unknown mutual coupling[J]. Signal Processing, 2012, 92(9): 2056-2065.

[13] Viberg M, Ottersten B. Sensor array processing based on subspace fitting[J]. IEEE Transactions on Signal Processing, 1991, 39(5): 1110-1121.

[14] Huang K C, Yeh C C. A unitary transformation method for angle-of-arrival estimation[J]. IEEE Transactions on Signal Processing, 1991, 39(4): 975-977.

[15] Dai J, Xu X, Zhao D. Direction-of-arrival estimation via real-valued sparse representation[J]. IEEE Antennas and Wireless Propagation Letters, 2013, 12: 376-379.